

03

Смещенные параксиальные пучки Бесселя–Гаусса. I

© А.Б. Плаченев

МИРЭА — Российский технологический университет,
119454 Москва, Россия

e-mail: a_plachenov@mail.ru

Поступила в редакцию 16.09.2018 г.

В окончательной редакции 06.10.2018 г.

Принята к публикации 06.11.2018 г.

Рассмотрено новое семейство локализованных решений параболического (параксиального волнового) уравнения, обобщающее известные пучки Бесселя–Гаусса и включающее в качестве подсемейств асимметрические и некоаксиальные пучки Бесселя–Гаусса. Найден фурье-спектр таких решений, получено их разложение по несмещенным пучкам Бесселя–Гаусса.

DOI: 10.21883/OS.2019.03.47372.274-18

1. Введение

С тех пор как в 1987 г. Гори, Гуаттари и Падовани опубликовали статью [1], в которой описывались пучки Бесселя–Гаусса (БГ) нулевого порядка, интерес к этой теме не ослабевает. Предпринимаются усилия по обобщению таких решений. В частности, здесь можно назвать работы Багини и соавторов [2], Котляра и соавторов [3,4], Хуанга, Женга и Ли [5], а также Киселева и Плаченова [6]. В настоящей работе будет показано, что предложенные в цитированных статьях решения являются частными случаями более широкого семейства, которое, в свою очередь, оказывается подсемейством обнаруженного Киселевым [7,8] и несколько позже Гутьерресом-Вегой и Бандресом [9] семейства решений Гельмгольца–Гаусса (после некоторой модификации последнего).

2. Моды Гельмгольца–Гаусса и, в частности, Бесселя–Гаусса

Параксиальным волновым уравнением [10] (или параболическим уравнением [11–13]) называется уравнение вида

$$2ikU_z + U_{xx} + U_{yy} = 0, \quad (1)$$

где k — вещественный параметр (волновое число), z — продольная, а x и y — поперечные координаты. Осесимметрической фундаментальной модой [7,8] уравнения (1) (или осесимметрическим гауссовым пучком [10,14]) называется решение вида

$$G = \frac{A}{q(z)} \exp \left\{ ik \frac{x^2 + y^2}{2q(z)} \right\}, \quad (2)$$

где A — константа,

$$q(z) = z - iz_R = |q|e^{-i\psi}, \quad (3)$$

$z_R > 0$ — длина Релея [14], $|q| = \sqrt{z^2 + z_R^2}$,

$$\psi = -\arg q = \operatorname{arccctg} \frac{z}{z_R} \quad (4)$$

уменьшается от π до нуля, когда z растёт от минус до плюс бесконечности, величина $\frac{\pi}{2} - \psi = \operatorname{arctg} \frac{z}{z_R}$ носит название фазы Гуи [10].

Под высшими модами понимаются решения (1), имеющие вид

$$U = HG, \quad (5)$$

где G — функция (2), а H — некоторая функция (вообще говоря, комплексная), именуемая далее, следуя Киселеву [7], амплитудой. В работе [7] было установлено, что уравнению (1) удовлетворяют функции вида (5), в которых

$$H = \exp \left\{ \frac{iK^2}{2kq(z)} \right\} \Psi(X, Y), \quad (6)$$

где K — некоторая константа (вещественная или комплексная),

$$X = x/q(z), \quad Y = y/q(z), \quad (7)$$

а функция $\Psi(X, Y)$ — любое решение уравнения Гельмгольца

$$\Psi_{XX} + \Psi_{YY} + K^2\Psi = 0. \quad (8)$$

Решения с такими амплитудами были названы в [7] модами Гельмгольца–Гаусса (превращающимися при $K = 0$ в моды Лапласа–Гаусса).

Важным частным случаем таких решений являются моды Бесселя–Гаусса (БГ), в которых с точностью до постоянного множителя

$$\Psi_m = J_m(KR) \exp\{im\Phi\}. \quad (9)$$

Здесь m — целое число, J_m — функция Бесселя первого рода, R и Φ — полярные координаты на плоскости XY :

$$X = R \cos \Phi, \quad Y = R \sin \Phi.$$

Значение R комплексно: $R = r/q(z)$, где $r = \sqrt{x^2 + y^2}$ — полярный радиус на плоскости xy , а угол Φ вещественный и совпадает с обычным полярным углом. Тогда выражение для моды БГ принимает вид

$$U_m = \frac{A}{q(z)} \exp \left\{ \frac{ikr^2}{2q(z)} + \frac{iK^2}{2kq(z)} + im\Phi \right\} J_m \left(\frac{Kr}{q(z)} \right). \quad (10)$$

Выражение для пучков БГ нулевого порядка было найдено в работе [1]. Авторы рассмотрели поле, представляющееся при $z = 0$ в виде

$$U|_{z=0} = AJ_0(\beta r) \exp[-(r/w_0)^2],$$

где A , $\beta > 0$ и $w_0 > 0$ — некоторые константы, и вычислили соответствующее решение уравнения (1) с помощью интеграла Френеля. В результате была получена функция вида (10), в которой $m = 0$, $z_R = kw_0^2/2$, $K = -ik\beta w_0^2/2$. В этой же работе было указано, что такое решение может быть получено как суперпозиция гауссовых пучков, оси которых образуют коническую поверхность, причем параметры β , k и угол θ между осью z и образующими этой поверхности связаны равенством $\beta = k \sin \theta$.

Выражения для пучков БГ в случае ненулевых значений m были получены в работе [2]. Авторы разложили функцию, описывающую наклонный гауссов пучок, в ряд Фурье по полярному углу Φ и назвали слагаемые этого ряда пучками БГ. Следует отметить, что полученные в [2] выражения, строго говоря, не удовлетворяют точно уравнению (1), поскольку использованная в работе функция, описывающая наклонный гауссов пучок, включает некоторые поправки к параксиальному приближению. Если, однако, в этих выражениях всюду заменить единицей косинус угла наклона пучка, то после некоторых преобразований придем к формуле (10) для пучков БГ порядка m в случае чисто мнимого (точнее, мнимоотрицательного) K (такие пучки мы вслед за авторами рассматриваемой работы будем именовать обычными). В случае вещественных K выражения для пучков БГ произвольного порядка были получены в этой же работе [2] с помощью разложения в ряд Фурье выражения уже не для наклонного, а для смещенного в поперечном направлении гауссова пучка. Поскольку величина $q(0) = -iz_R$ чисто мнимая, вещественным значениям K соответствует начальное (при $z = 0$) распределение с функцией Бесселя от чисто мнимого аргумента (с точностью до числового множителя — так называемой модифицированной функцией Бесселя), поэтому соответствующие решения были названы модифицированными пучками БГ. Наконец, была проделана та же операция для наклонного гауссова пучка со смещением. Функции, возникающие при таком разложении и названные авторами обобщенными пучками БГ, приводятся к виду (10) с некоторым комплексным K (после исключения непараксиальных поправок). Таким образом, все типы пучков, полученных в работе [2], в

параксиальном приближении описываются одной и той же формулой (10) и отличаются друг от друга значением параметра K .

Формула, описывающая параксиальное приближение для обычного пучка БГ произвольного порядка, приведена в статье Пальмы и соавторов [15]. В этой работе пучки БГ интерпретируются как суперпозиция гауссовых пучков, оси которых расположены на конической или цилиндрической (в случае модифицированных пучков) поверхности, причем для обычного пучка вершина конуса совпадает с началом координат, а для обобщенного смещена вдоль оси z на некоторое расстояние.

Упомянем также статью Ли, Ли и Вольфа [16], в которой формулы для мод БГ ищутся, как и в работе [1], с помощью интеграла Френеля. Следует, однако, отметить, что полученные выражения содержат сингулярности при $z \rightarrow 0$.

Лаконичная форма записи (10), объединяющая все три типа пучков, впервые появилась, по-видимому, в работе [7].

Отметим два обобщения пучков БГ.

Первое обобщение — это асимметрические (или в другой терминологии элегантные) пучки БГ [3,4]. Это решения уравнения (1), являющиеся суперпозицией обычных пучков БГ и имеющие вид

$$U = \sum_{p=0}^{\infty} \frac{c^p}{p!} U_{m+p}, \quad (11)$$

где U_{m+p} определяется согласно (10), $m \geq 0$ — целое, $c \geq 0$. В работах [3,4] показано, что выражение (11) представляется в виде конечного произведения элементарных функций и функции Бесселя J_m от аргумента специального вида.

Второе обобщение — некоаксиальные пучки БГ [5], которые в плоскости $z = 0$ имеют вид

$$U|_{z=0} = \exp \left[-\frac{(x - a_x)^2 + (y - a_y)^2}{w_0^2} + im\Phi \right] J_m(\beta r), \quad (12)$$

где β , a_x , a_y и w_0 — произвольные вещественные числа. Функция (12) отличается от начального распределения для (10) (с соответствующими параметрами) множителем, пропорциональным $\exp \left(\frac{2a_x x + 2a_y y}{w_0^2} \right)$. Это приводит к появлению при $z \neq 0$ в соответствующем решении уравнения (1) дополнительного осциллирующего множителя и к линейному по z чисто мнимому сдвигу аргументов x и y .

Следует отметить, что такое решение, строго говоря, не относится к классу функций (2)–(8), однако приводится к нему сдвигом начала координат. Если такой сдвиг нежелателен, можно переопределить понятие фундаментальной моды и под G понимать функцию

$$G = \frac{A}{q(z)} \exp \left\{ ik \frac{(x - a_x)^2 + (y - a_y)^2}{2q(z)} \right\}, \quad (13)$$

частным случаем которой (при $a_x = a_y = 0$) является (2). Под высшими модами снова можно понимать решения вида (5), а под модами Гельмгольца–Гаусса — функции с амплитудами (6), (8), где теперь нужно вместо (7) положить

$$X = (x - a_x)/q(z), \quad Y = (y - a_y)/q(z). \quad (14)$$

Неоаксиальные пучки БГ являются модами Гельмгольца–Гаусса, понимаемыми в таком слегка модифицированном смысле.

Таким образом, для построения пучков БГ и их обобщений могут использоваться различные подходы. В дальнейших построениях будем опираться на представление (5), (6), которое позволит получить новый класс решений уравнения (1), включающий описанные выше семейства в качестве частных случаев.

3. Смещенные моды Бесселя–Гаусса

Переходим к построению новых решений уравнения (1), относящихся к классу мод Гельмгольца–Гаусса (5)–(8). Перепишем (9) в координатах X, Y (7), причем сделаем это двумя способами. Первый основан на интегральном представлении функции Бесселя [17,18]:

$$J_m(\gamma) = \frac{1}{2\pi} \int_{-\pi}^{\pi} \exp\{im\phi - i\gamma \sin \phi\} d\phi. \quad (15)$$

Тогда

$$\begin{aligned} \Psi_m &= J_m(KR) \exp\{im\Phi\} \\ &= \frac{1}{2\pi} \int_{-\pi}^{\pi} \exp\{im\phi - iKR \sin \phi\} d\phi \exp\{im\Phi\} \\ &= \frac{1}{2\pi} \int_{-\pi}^{\pi} \exp\{im(\phi + \Phi) - iKR \sin \phi\} d\phi. \end{aligned}$$

Перейдем к новой переменной интегрирования $t = \phi + \Phi$, причем промежуток интегрирования можно оставить тем же в силу 2π -периодичности подынтегральной функции. Преобразуем показатель экспоненты:

$$\begin{aligned} im(\phi + \Phi) - iKR \sin \phi &= imt - iKR \sin(t - \Phi) \\ &= imt - iKR \sin t \cos \Phi + iKR \cos t \sin \Phi \\ &= imt - iK(X \sin t - Y \cos t), \end{aligned}$$

и получим формулу

$$\Psi_m(X, Y) = \frac{1}{2\pi} \int_{-\pi}^{\pi} \exp\{imt - iK(X \sin t - Y \cos t)\} dt, \quad (16)$$

которая определяет Ψ_m как аналитическую функцию переменных X и Y , регулярную при всех комплексных значениях своих аргументов. Интеграл (16), очевидно,

удовлетворяет уравнению (8), поскольку этому уравнению удовлетворяет подынтегральная функция.

Из (16), между прочим, вытекает, что при произвольных комплексных X, Y значения $\Psi_m(X, Y)$ являются коэффициентами разложения функции $\exp\{-iK(X \sin t - Y \cos t)\}$ в ряд Фурье по переменной t :

$$\begin{aligned} &\exp\{-iK(X \sin t - Y \cos t)\} \\ &= \sum_{m=-\infty}^{+\infty} \Psi_m(X, Y) \exp(-imt) \\ &= \sum_{m=-\infty}^{+\infty} \Psi_{-m}(X, Y) \exp(imt). \end{aligned} \quad (17)$$

Второй способ основан на формулах

$$\exp\{i\Phi\} = \frac{X + iY}{R} = \frac{R}{X - iY},$$

справедливых при $R \neq 0$. Подставляя эти формулы в (9) (первую при положительных, а вторую при отрицательных значениях m), получаем

$$\Psi_m(X, Y) = \frac{J_m(KR)}{R^{|m|}} (X + iY \operatorname{sign} m)^{|m|}, \quad (18)$$

где $R = \sqrt{X^2 + Y^2}$. Здесь $\operatorname{sign} m = m/|m|$ при $m \neq 0$, $\operatorname{sign} 0 = 0$. Чтобы равенство (18) оставалось справедливым при $m = 0$, нулевую степень любого выражения считаем тождественно равной единице — в том числе и в случае, когда основание обращается в 0.

Очевидно, при $R \neq 0$ выражение (18) определяет ту же функцию, что и (16), а при $R = 0$ первый множитель следует заменить его предельным значением, равным $\frac{1}{|m|!} \left(\frac{K \operatorname{sign} m}{2}\right)^{|m|}$ [17,18]. Несмотря на наличие квадратного корня, эта функция, рассматриваемая как функция независимых комплексных переменных X и Y , не имеет точек ветвления: первый множитель в (18) четен относительно своего аргумента KR , поэтому выбор ветви квадратного корня не влияет на значение функции.

Выполним теперь в (16) и (18) сдвиг: $X \mapsto X' = X - X_0, Y \mapsto Y' = Y - Y_0$, где X_0 и Y_0 — произвольные постоянные (вообще говоря, комплексные). Функции

$$\Psi_m(X', Y') = \frac{J_m(KR')}{R'^{|m|}} (X' + iY' \operatorname{sign} m)^{|m|}, \quad (19)$$

где

$$R' = \sqrt{X'^2 + Y'^2} = \sqrt{(X - X_0)^2 + (Y - Y_0)^2}, \quad (20)$$

по-прежнему удовлетворяют уравнению (8) и регулярны при всех комплексных значениях X, Y . Отметим, что похожая конструкция при $m \geq 0$ и вещественных K была использована Котляром и соавторами [19–21] при построении смещенных недифрагирующих пучков

Бесселя (при этом значения X_0 и Y_0 предполагались комплексными, а в роли X и Y выступали декартовы координаты x и y).

Выбрав в качестве второго множителя в (6) выражение (19) и подставив в (5), получаем следующие решения уравнения (1):

$$\begin{aligned}
 U'_m &= \frac{A}{q(z)} \exp \left\{ \frac{ikr^2}{2q(z)} + \frac{iK^2}{2kq(z)} \right\} \Psi_m(X - X_0, Y - Y_0) \\
 &= \frac{A}{q(z)} \exp \left\{ \frac{ikr^2}{2q(z)} + \frac{iK^2}{2kq(z)} \right\} \\
 &\times J_m \left(K \sqrt{(X - X_0)^2 + (Y - Y_0)^2} \right) \\
 &\times \left[\frac{(X - X_0) + i(Y - Y_0) \text{sign } m}{\sqrt{(X - X_0)^2 + (Y - Y_0)^2}} \right]^{|m|}.
 \end{aligned} \tag{21}$$

Перейдя к исходным переменным x, y , после некоторых преобразований находим

$$\begin{aligned}
 U'_m &= \frac{A}{q(z)} \exp \left\{ \frac{ikr^2}{2q(z)} + \frac{iK^2}{2kq(z)} \right\} \\
 &\times J_m \left(\frac{K \sqrt{(x - q(z)X_0)^2 + (y - q(z)Y_0)^2}}{q(z)} \right) \\
 &\times \left[\frac{(x - x_*) + i(y - y_*) \text{sign } m}{\sqrt{(x - q(z)X_0)^2 + (y - q(z)Y_0)^2}} \right]^{|m|},
 \end{aligned} \tag{22}$$

где

$$x_* = (\text{Re } X_0 - \text{Im } Y_0 \text{sign } m)z + (\text{Im } X_0 + \text{Re } Y_0 \text{sign } m)z_R,$$

$$y_* = (\text{Im } X_0 \text{sign } m + \text{Re } Y_0)z + (-\text{Re } X_0 \text{sign } m + \text{Im } Y_0)z_R.$$

Функции вида (21), (22) будем называть смещенными модами БГ. Для случая $m = 0$ такое решение рассматривалось в работе [6], см. также [22,23].

В случае фундаментальной моды вида (13) формула (21) остается справедливой, если в ней считать $r^2 = (x - a_x)^2 + (y - a_y)^2$, а X и Y определить согласно (14). В частности, положив

$$X_0 = -ia_x/z_R, \quad Y_0 = -ia_y/z_R,$$

приходим с точностью до обозначений к выражению, описывающему при мнимоотрицательных K некоаксиальные пучки БГ, введенные в [5].

Отметим, что и в других решениях типа Гельмгольца–Гаусса, рассмотренных в работах [7–9], также можно выполнить аналогичные комплексные сдвиги аргументов.

4. Фурье–спектр смещенных пучков Бесселя–Гаусса

Фурье–спектр произвольного локализованного (при фиксированном z) решения уравнения (1) можно найти, воспользовавшись известным соотношением между

спектральной функцией и асимптотикой этого решения при $z \rightarrow \infty$. Любое решение параболического уравнения (1) может быть записано в виде

$$\begin{aligned}
 U(x, y, z) &= \iint_{-\infty}^{+\infty} \hat{U}(k_x, k_y) \\
 &\times \exp \left\{ i \left(k_x x + k_y y - \frac{k_x^2 + k_y^2}{2k} z \right) \right\} dk_x dk_y,
 \end{aligned}$$

где $\hat{U}(k_x, k_y)$ — значение спектральной функции при $z = 0$. Воспользовавшись методом стационарной фазы [18], получаем в случае гладкой функции $\hat{U}(k_x, k_y)$, что при $z \rightarrow \infty$

$$U(x, y, z) \sim \frac{2\pi k}{iz} \hat{U} \left(\frac{kx}{z}, \frac{ky}{z} \right) \exp \left\{ \frac{ik(x^2 + y^2)}{2z} \right\}.$$

Тогда

$$\begin{aligned}
 \hat{U}(k_x, k_y) &= \lim_{z \rightarrow \infty} \frac{iz}{2\pi k} \exp \left\{ -\frac{iz(k_x^2 + k_y^2)}{2k} \right\} \\
 &\times U \left(\frac{kx}{k}z, \frac{ky}{k}z, z \right).
 \end{aligned}$$

Применив эту формулу к смещенному пучку БГ (21), получаем

$$\begin{aligned}
 \hat{U}'_m(k_x, k_y) &= \frac{iA}{2\pi k} \exp \left\{ -\frac{z_R}{2k} (k_x^2 + k_y^2) \right\} \\
 &\times \Psi_m \left(\frac{k_x}{k} - X_0, \frac{k_y}{k} - Y_0 \right) = \frac{iA}{2\pi k} \exp \left\{ -\frac{z_R}{2k} (k_x^2 + k_y^2) \right\} \\
 &\times \frac{J_m(K\hat{R})}{\hat{R}^{|m|}} (\hat{X} + i\hat{Y} \text{sign } m)^{|m|},
 \end{aligned}$$

$$\text{где } \hat{X} = \frac{k_x}{k} - X_0, \hat{Y} = \frac{k_y}{k} - Y_0, \hat{R} = \sqrt{\hat{X}^2 + \hat{Y}^2}.$$

Отсюда вытекает любопытный факт: фурье–образ произведения смещенного бесселевого множителя и гауссовой экспоненты оказывается функцией из того же самого класса.

5. Связь между смещенными и несмещенными пучками Бесселя–Гаусса

5.1. Случай общего положения

Покажем, как смещенные моды БГ могут быть представлены в виде суперпозиции несмещенных. Для этого понадобится формула, связывающая значения функций Ψ_m для различных значений аргументов и индексов.

Пусть $X = X_1 + X_2, Y = Y_1 + Y_2$, где $X_{1,2}, Y_{1,2}$ — произвольные комплексные числа. Очевидно, что

$$\begin{aligned}
 &\exp \{ -iK(X \sin t - Y \cos t) \} \\
 &= \exp \{ -iK(X_1 \sin t - Y_1 \cos t) \} \\
 &\times \exp \{ -iK(X_2 \sin t - Y_2 \cos t) \}.
 \end{aligned}$$

Воспользовавшись формулами (17), получаем

$$\begin{aligned} & \sum_{m=-\infty}^{+\infty} \Psi_m(X_1 + X_2, Y_1 + Y_2) \exp(-imt) \\ &= \sum_{p=-\infty}^{+\infty} \Psi_{-p}(X_1, Y_1) \exp ipt \cdot \sum_{k=-\infty}^{+\infty} \Psi_k(X_2, Y_2) \exp(-ikt) \\ &= \sum_{p,k=-\infty}^{+\infty} \Psi_{-p}(X_1, Y_1) \Psi_k(X_2, Y_2) \exp[-i(k-p)t] \\ &= \sum_{p,m=-\infty}^{+\infty} \Psi_{-p}(X_1, Y_1) \Psi_{m+p}(X_2, Y_2) \exp(-imt) \end{aligned}$$

(при последнем переходе сделана замена $m = k - p$, $k = m + p$). Отсюда вытекает формула

$$\Psi_m(X_1 + X_2, Y_1 + Y_2) = \sum_{p=-\infty}^{+\infty} \Psi_{-p}(X_1, Y_1) \Psi_{m+p}(X_2, Y_2), \quad (23)$$

являющаяся аналогом теоремы сложения для бесселевых функций первого рода [17,18]. Применительно к $X' = X - X_0$, $Y' = Y - Y_0$ эта формула дает

$$\Psi_m(X', Y') = \sum_{p=-\infty}^{+\infty} \Psi_{-p}(-X_0, -Y_0) \Psi_{m+p}(X, Y),$$

откуда после домножения на (2) получаем

$$U'_m = \sum_{p=-\infty}^{+\infty} \Psi_{-p}(-X_0, -Y_0) U_{m+p}. \quad (24)$$

Таким образом, мы получили представление для смещенного пучка БГ в виде суперпозиции несмещенных. Отсюда, между прочим, следует, что волновое поле, отвечающее смещенным пучкам, представляется в виде суперпозиции гауссовых пучков, оси которых находятся на тех же конических (в случае вещественных K цилиндрических) поверхностях, что и для несмещенных.

Точно таким же образом можно получить представление для несмещенного пучка БГ в виде суперпозиции смещенных: $X = X' + X_0$, $Y = Y' + Y_0$, поэтому в силу (23)

$$\Psi_m(X, Y) = \sum_{p=-\infty}^{+\infty} \Psi_{-p}(X_0, Y_0) \Psi_{m+p}(X', Y')$$

и

$$U_m = \sum_{p=-\infty}^{+\infty} \Psi_{-p}(X_0, Y_0) U'_{m+p}.$$

5.2. Асимметричные пучки Бесселя–Гаусса и родственные им

Рассмотрим частный случай смещенного пучка БГ, в котором $X_0 = c/K$, $Y_0 = \pm iX_0 = \pm ic/K$, где c — произвольное комплексное число. В этом случае при вычислении $\Psi_{-p}(-X_0, -Y_0) = \Psi_{-p}(-c/K, \mp ic/K)$ следует

учесть, что $R_0 = \sqrt{X_0^2 + Y_0^2} = 0$, поэтому первый множитель в формуле (19) нужно заменить его предельным значением:

$$\begin{aligned} & \Psi_{-p}\left(-\frac{c}{K}, \mp i\frac{c}{K}\right) \\ &= \frac{1}{|p|!} \left(-\frac{K \operatorname{sign} p}{2}\right)^{|p|} \left(-\frac{c}{K} \mp \frac{c}{K} \operatorname{sign} p\right)^{|p|} \\ &= \frac{c^{|p|}}{|p|!} \left(\frac{1 \pm \operatorname{sign} p}{2}\right)^{|p|}. \end{aligned}$$

При $Y_0 = iX_0$ это выражение обращается в нуль при отрицательных, а при $Y_0 = -iX_0$ — при положительных значениях p вследствие аннулирования последнего множителя. Тогда в силу (23)

$$\Psi_m\left(X - \frac{c}{K}, Y - i\frac{c}{K}\right) = \sum_{p=0}^{\infty} \frac{c^p}{p!} \Psi_{m+p}(X, Y), \quad (25)$$

$$\Psi_m\left(X - \frac{c}{K}, Y + i\frac{c}{K}\right) = \sum_{p=0}^{\infty} \frac{(-c)^p}{p!} \Psi_{m-p}(X, Y) \quad (26)$$

(в формуле (26) сделана замена индекса суммирования $p \mapsto -p$).

Перейдем к случаю, рассмотренному в [3,4]. Как указано выше, в этих работах рассматривалась сумма (11), которая после вынесения общего множителя представляется в виде

$$U = \frac{A}{q(z)} \exp\left\{\frac{ikr^2}{2q(z)} + \frac{iK^2}{2kq(z)}\right\} \sum_{p=0}^{\infty} \frac{c^p}{p!} \Psi_{m+p}(X, Y). \quad (27)$$

Такие решения уравнения (1), при $c > 0$, $m \geq 0$ и мнимоотрицательных K , были названы асимметричными (или элегантными) пучками БГ. Сопоставляя (27) с (25), видим, что асимметричный пучок БГ (11) — это смещенный пучок (21) с $X_0 = c/K$, $Y_0 = ic/K$. При таких значениях параметров с учетом $m \geq 0$ выражения (21), (22) несколько упрощаются: $x_* = y_* = 0$,

$$(X - X_0) + i(Y - Y_0) = X + iY = q^{-1}(z)r \exp\{i\Phi\},$$

$$\begin{aligned} & (X - X_0)^2 + (Y - Y_0)^2 \\ &= q^{-2}(z)r^2 - 2(c/K)q^{-1}(z)r \exp\{i\Phi\}, \end{aligned}$$

и формула (32) принимает вид

$$\begin{aligned} U'_m &= \frac{A}{q(z)} \exp\left\{\frac{ikr^2}{2q(z)} + \frac{iK^2}{2kq(z)} + im\Phi\right\} \\ &\times \left[\frac{r}{r - 2(c/K)q(z) \exp\{i\Phi\}}\right]^{m/2} \\ &\times J_m\left(\frac{K\sqrt{r^2 - 2(c/K)q(z)r \exp\{i\Phi\}}}{q(z)}\right). \end{aligned}$$

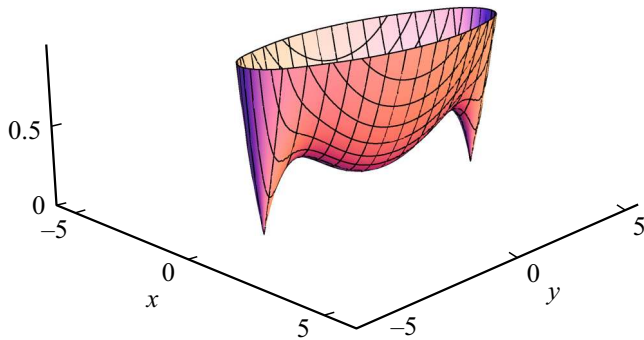


Рис. 1. График зависимости $\left| \Psi_0 \left(\frac{x}{q(0)} - X_0, \frac{y}{q(0)} - Y_0 \right) \right| = |J_0(KR')|$ от безразмерных координат x и y при $z = 0$ ($k = 1, q(0) = -i, K = 1, X_0 = 5, Y_0 = i$).

В случае мнимотрицательного K эта функция с точностью до обозначений совпадает с выражением для асимметричного пучка БГ, полученным в [3,4]. В случае $m \leq 0$ аналогичную формулу можно получить, если взять $X_0 = c/K, Y_0 = -ic/K$.

5.3. Некоаксиальные пучки Бесселя-Гаусса

В случае некоаксиальных пучков БГ [5] величины $X_0 = -ia_x/z_R, Y_0 = -ia_y/z_R$ чисто мнимые, поэтому можно воспользоваться формулой (9), и тогда

$$\Psi_{-p} \left(\frac{ia_x}{z_R}, \frac{ia_y}{z_R} \right) = J_{-p} \left(\frac{iKa}{z_R} \right) \exp\{-ip\Phi_a\},$$

где $a = \sqrt{a_x^2 + a_y^2}$ и Φ_a — полярные координаты вектора (a_x, a_y) . Отметим, что для рассмотренного в [5] случая обычных пучков БГ величина K мнимотрицательна, и $iK = |K|$.

6. Результаты численных расчетов

Приведем несколько рисунков, иллюстрирующих поведение исследуемых функций для случая $m = 0, X_0 = 5, Y_0 = i, z_R = 1, k = 1, K = 1$ (все величины — безразмерные).

На рис. 1 приведен график зависимости модуля функции $\Psi_0 \left(\frac{x}{q(0)} - X_0, \frac{y}{q(0)} - Y_0 \right) = J_0(KR')$ от поперечных координат x и y при $z = 0$. Этот модуль имеет локальный минимум в начале координат и быстро растет при увеличении $|y|$. Вдоль оси x рост первоначально более плавный, затем функция обращается в нуль в двух точках, в которых значение KR' совпадает с корнями функции Бесселя J_0 , после чего происходит быстрый рост.

Рисунок 2 представляет модуль функции U'_0 (21) — произведения Ψ_0 и гауссова множителя (2) — в том же сечении $z = 0$. Как видно, график этой функции имеет характерную двугорбую форму, которая в данном

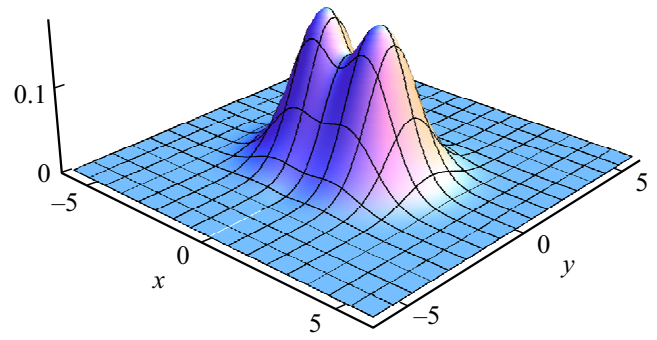


Рис. 2. График зависимости $|U'_0|$ от безразмерных координат x и y при $z = 0$ ($k = 1, q(0) = -i, K = 1, X_0 = 5, Y_0 = i$).

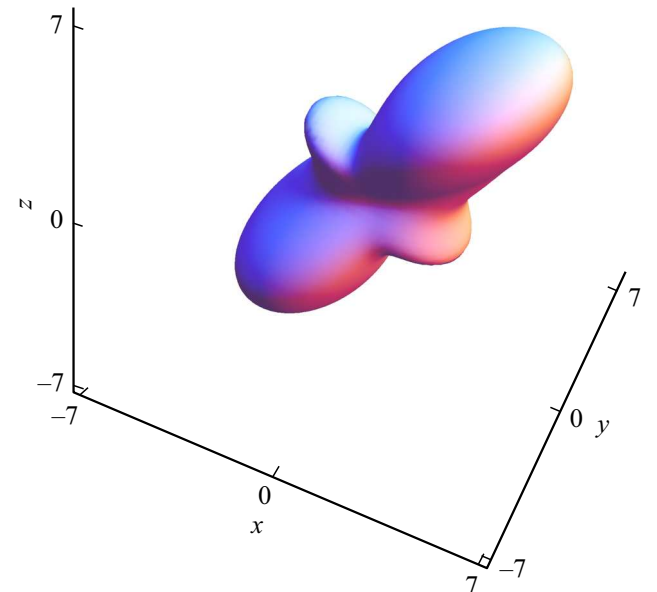


Рис. 3. Поверхность уровня $|U'_0| = 0.05$ ($k = 1, q(z) = z - i, K = 1, X_0 = 5, Y_0 = i$).

случае связана с оврагообразным профилем функции Ψ_0 в окрестности максимума гауссовой экспоненты.

Остальные рисунки представляют собой поверхности уровня функции $|U'_0|$ в трехмерном пространстве. На рис. 3,4 поверхности состоят из одной компоненты достаточно сложной формы. На рис. 5, отвечающем значению $|U'_0|$, близкому к максимальному, поверхность состоит из двух компонент связности, локализованных в окрестности точек максимума.

Более подробно и систематично исследование зависимости функций (21) от многочисленных параметров, определяющих их поведение, будет представлено во второй части настоящей работы.

7. Заключение

В настоящей работе построено новое семейство локализованных решений парааксиального волнового уравнения, имеющих явное аналитическое представление —

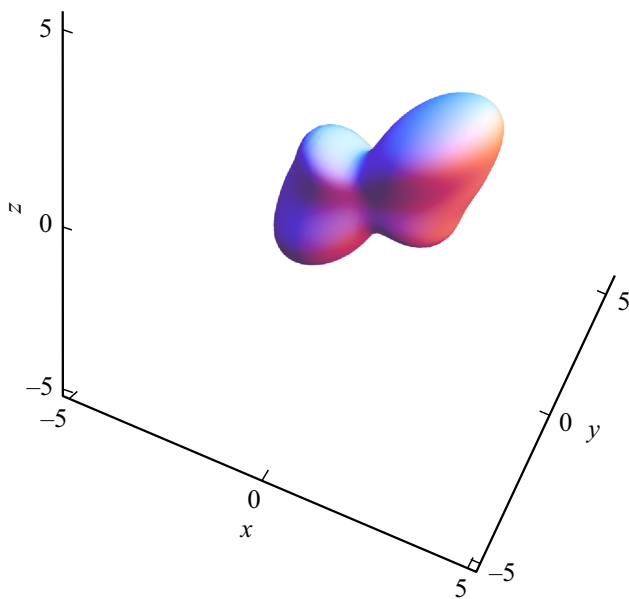


Рис. 4. Поверхность уровня $|U'_0| = 0.1$ ($k = 1$, $q(z) = z - i$, $K = 1$, $X_0 = 5$, $Y_0 = i$).

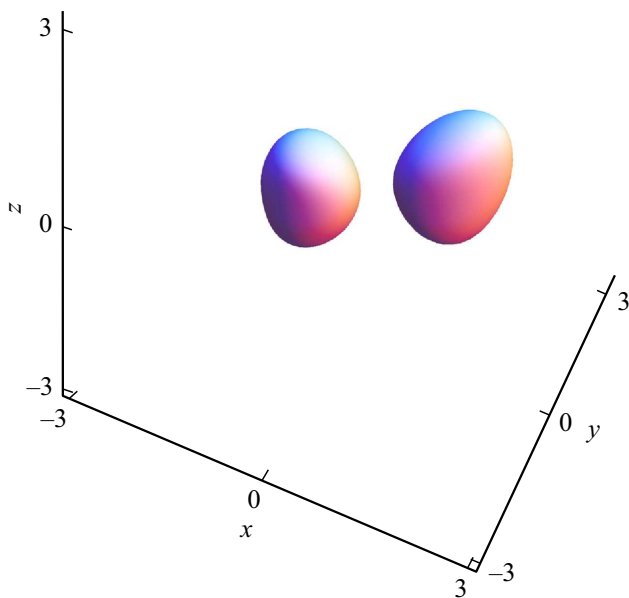


Рис. 5. Поверхность уровня $|U'_0| = 0.15$ ($k = 1$, $q(z) = z - i$, $K = 1$, $X_0 = 5$, $Y_0 = i$).

смещенные пучки БГ. Установлено, что это семейство включает в себя некоторые решения, найденные ранее: обычные, модифицированные, обобщенные, асимметричные и некоаксиальные пучки БГ. Получены формулы для фурье–спектра смещенного пучка БГ, а также представление для такого решения в виде ряда по несмещенным пучкам.

Автор намерен продолжить исследование свойств полученных функций. Будут представлены формулы для орбитального углового момента смещенных пучков БГ. Будет также получена удобная параметризация рассмат-

риваемого класса решений, подробно исследовано поведение выражения KR' , стоящего в аргументе функции Бесселя, и на основе такого исследования будет описана эволюция оптических вихрей, возникающих в изучаемых решениях. Аналитические построения планируется проиллюстрировать результатами численных расчетов.

В качестве дальнейших обобщений могут быть рассмотрены смещенные пучки Гельмгольца–Гаусса небесселева типа, получаемые из известных решений [9] с помощью аналогичных комплексных сдвигов на плоскости XU . Другое направление предполагаемых обобщений — рассмотрение наклонных пучков Бесселя–Гаусса и Гельмгольца–Гаусса, в которых, в свою очередь, также можно выполнить комплексный сдвиг аргумента. Возможно также обобщение рассматриваемых решений на среды с квадратичной зависимостью показателя преломления от поперечных координат, как, например, это сделано в работе [6].

Предполагается также на основе полученных решений уравнения (1) выполнить построение точных решений волнового уравнения — непараксиальных движущихся пучков, подобных построенным в [24], а также построение интегрального представления для точных решений уравнений Гельмгольца, имеющих ту же коротковолновую асимптотику, что и произведение функции (21) на осциллирующий множитель $\exp(ikz)$ — подобно тому, как это сделано в работе [25] применительно к астигматическим гауссовым пучкам.

Автор выражает глубокую признательность И.А. Со за проведение численных расчетов и построение графиков, использованных в разд. 6 настоящей работы, и А.П. Киселеву за полезные и содержательные обсуждения.

Список литературы

- [1] Gori F., Guattari G., Padovani C. // Opt. Commun. 1987. V. 64. N 6. P. 491. doi 10.1016/0030-4018(87)90276-8
- [2] Bagini V., Frecca F., Santarsiero M., Schettini G., Schirripa Spagnolo G. // J. of Mod. Opt. 1996. V. 43. N 6. P. 1155. doi 10.1080/09500349608232794
- [3] Котляр В.В., Ковалёв А.А., Скиданов Р.В., Соифер В.А. // Компьютерная оптика. 2014. Т. 38. № 2. С. 162.
- [4] Kotlyar V.V., Kovalev A.A., Skidanov R.V., Soifer V.A. // JOSA A. 2014. V. 31. N 9. P. 1977. doi 10.1364/JOSAA.31.001977
- [5] Huang C., Zheng Y., Li H. // JOSA A. 2016. V. 33. N 4. P. 508. doi 10.1364/JOSAA.33.000508
- [6] Kiselev A.P., Plachenov A.B. // JOSA A. 2016. V. 33. N 4. P. 663. doi 10.1364/JOSAA.33.000663
- [7] Киселев А.П. // Опт. и спектр. 2004. Т. 96. № 4. С. 553; Kiselev A.P. // Opt. Spectrosc. 2004. V. 96. N 4. P. 479. doi 10.1134/1.1719131
- [8] Киселев А.П. // Опт. и спектр. 2007. Т. 102. № 4. С. 661; Kiselev A.P. // Opt. Spectrosc. 2007. V. 102. N 4. P. 603. doi 10.1134/S0030400X07040200
- [9] Gutiérrez-Vega J.C., Bandres M.A. // JOSA A. 2005. V. 22. N 2. P. 289. doi 10.1364/JOSAA.22.000289

- [10] *Siegman A.E.* Lasers. Mill Valley, California: University Science Books, 1986. 1285 p.
- [11] *Леонтович М.А., Фок В.А.* // ЖЭТФ. 1946. Т. 16. № 7. С. 557.
- [12] *Фок В.А.* Проблемы дифракции и распространения электромагнитных волн. М.: Советское радио, 1970. 520 с.; *Fock V.A.* Electromagnetic Diffraction and Propagation Problems. Frankfurt: Pergamon Press, 1965. 414 p.
- [13] *Бабич В.М., Булдырев В.С.* Асимптотические методы в задачах дифракции коротких волн. М.: Главная редакция физико-математической литературы изд-ва „Наука“, 1972. 456 с.; *Babič V.M., Buldyrev V.S.* Short-Wavelength Diffraction Theory. Asymptotic Methods. Berlin, Heidelberg: Springer-Verlag, 1991. 445 p.
- [14] *Svelto O.* Principles of Lasers. 5th Edition. N.Y.: Springer Science + Business Media, LLC., 2010. 620 p.; Перевод: *Звелто О.* Принципы лазеров. М.: Мир, 1990. 560 с.
- [15] *Palma C., Cincotti G., Guattari G., Santarsiero M.* // J. Mod. Opt. 1996. V. 43. N 11. P. 2269.
doi 10.1080/09500349608232885
- [16] *Li Y., Lee H., Wolf E.* // JOSA A. 2004. V. 21. N 4. P. 640.
doi 10.1364/JOSAA.21.000640
- [17] *Watson G.N.* A Treatise on the Theory of Bessel Functions. Cambridge: The University press, 1922. 804 p.; Перевод: *Ватсон Г.Н.* Теория бесселевых функций, Ч. 1. М.: Издательство иностранной литературы, 1949. 799 с.
- [18] *Смирнов В.И.* Курс высшей математики, Т. 3, Ч. 2. СПб: БХВ-Петербург, 2010. 816 с.; *Smirnov V.I.* A Course of Higher Mathematics, V. III, Part II. Oxford: Pergamon/Addison-Wesley, 1964. 700 p.
- [19] *Kotlyar V.V., Kovalev A.A., Soifer V.A.* // Opt. Lett. 2014. V. 39. N 8. P. 2395. doi 10.1364/OL.39.002395
- [20] *Kovalev A.A., Kotlyar V.V., Porfirev A.A.* // Phys. Rev. A. 2015. V. 91. N 5. 053840. doi 10.1103/PhysRevA.91.053840
- [21] *Kotlyar V.V., Kovalev A.A., Soifer V.A.* // JOSA A. 2015. V. 32. N 6. P. 1046. doi 10.1364/JOSAA.32.001046
- [22] *Плаченнов А.Б., Дьякова Г.Н.* // Сб. тр. IX Межд. конф. „Фундаментальные проблемы оптики — 2016“. СПб, 2016. С. 64.
- [23] *Plachenov A.B., So I.A.* // Abstr. Int. conf. „2017 Days on Diffraction (DD)“. SPb. 2017. P. 114.
- [24] *Kiselev A.P., Plachenov A.B., Chamorro-Posada P.* // Phys. Rev. A. 2012. V. 85. 043835.
doi 10.1103/PhysRevA.85.043835
- [25] *Kiselev A.P., Plachenov A.B.* // Proc. Int. conf. „2018 Days on Diffraction (DD)“. SPb. IEEE. 2018. P. 168.